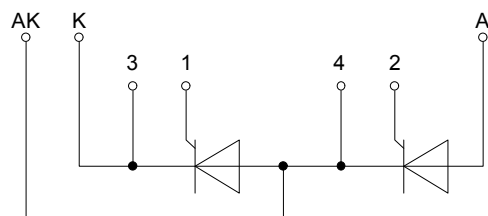
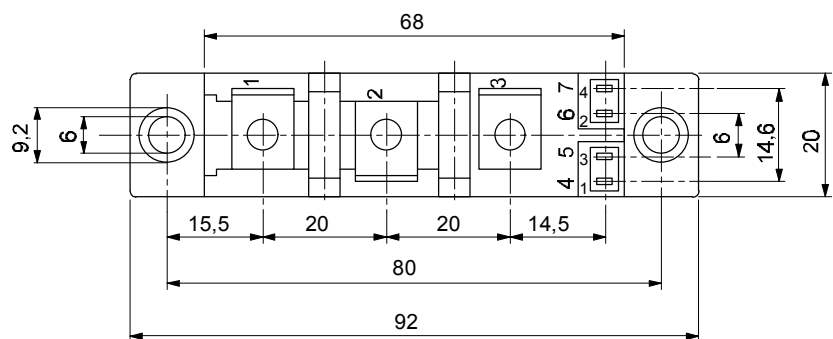
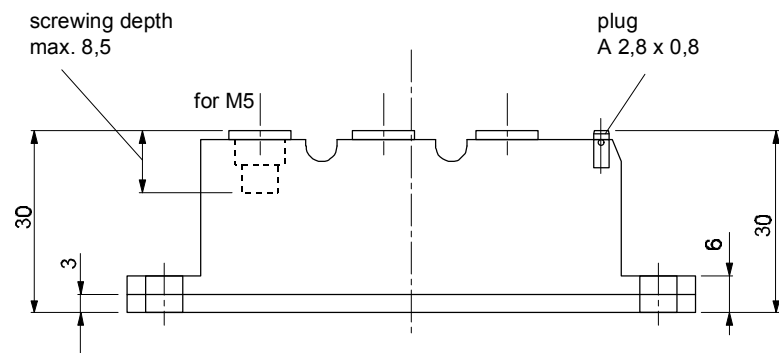


European Power-
Semiconductor and
Electronics Company
GmbH + Co. KG

Marketing Information TT 104 N



TT 104 N, TD 104 N, DT 104 N

Elektrische Eigenschaften		Electrical properties					
<i>Höchstzulässige Werte</i>		<i>Maximum rated values</i>					
Periodische Vorwärts- und Rückwärts-Spitzensperrspannung	repetitive peak forward off-state and reverse voltages	$t_{vj} = -40^\circ\text{C} \dots t_{vj \max}$		$V_{\text{DRM}}, V_{\text{RRM}}$	600 800 1000 1200 1400	V	
Vorwärts-Stoßspitzensperrspannung	non-repetitive peak forward off-state voltage	$t_{vj} = -40^\circ\text{C} \dots t_{vj \max}$		$V_{\text{DSM}} = V_{\text{DRM}}$		V	
Rückwärts-Stoßspitzensperrspannung	non-repetitive peak reverse voltage	$t_{vj} = +25^\circ\text{C} \dots t_{vj \max}$		$V_{\text{RSM}} = V_{\text{RRM}}$	+ 100	V	
Durchlaßstrom-Grenzeffektivwert	RMS on-state current			I_{TRMSM}	160	A	
Dauergrenzstrom	average on-state current	$t_c = 85^\circ\text{C}$		I_{TAVM}	104	A	A
Stoßstrom-Grenzwert	surge current	$t_{vj} = 25^\circ\text{C}, t_p = 10 \text{ ms}$ $t_{vj} = t_{vj \max}, t_p = 10 \text{ ms}$		I_{TSM}	2050 1800	A	
Grenzlastintegral	$\int i^2 t$ -value	$t_{vj} = 25^\circ\text{C}, t_p = 10 \text{ ms}$ $t_{vj} = t_{vj \max}, t_p = 10 \text{ ms}$		$\int i^2 dt$	21000 16200	A ² s	
Kritische Stromteilheit	current	$v_D \leq 67\%, V_{\text{DRM}}, f_o = 50 \text{ Hz}$		$(di/dt)_{\text{cr}}$	150	A/ μ s	
Kritische Spannungsteilheit	voltage	$v_L = 10 \text{ V}, i_{\text{GM}} = 0,6 \text{ A}, di_{\text{G}}/dt = 0,6 \text{ A}/\mu\text{s}$ $t_{vj} = t_{vj \max}, v_D = 0,67 V_{\text{DRM}}$		$(dv/dt)_{\text{cr}}$	1000	V/ μ s	
<i>Charakteristische Werte</i>		<i>Characteristic values</i>					
Durchlaßspannung	on-state voltage	$t_{vj} = t_{vj \max}, i_T = 300 \text{ A}$		v_T	max.	1,62	V
Schleusenspannung	threshold voltage	$t_{vj} = t_{vj \max}$		$V_{T(\text{TO})}$		0,85	V
Ersatzwiderstand	slope resistance	$t_{vj} = t_{vj \max}$		r_T		2,15	m Ω
Zündstrom	gate trigger current	$t_{vj} = 25^\circ\text{C}, v_D = 6 \text{ V}$		I_{GT}	max.	120	mA
Zündspannung	gate trigger voltage	$t_{vj} = 25^\circ\text{C}, v_D = 6 \text{ V}$		V_{GT}	max.	1,4	V
Nicht zündender Steuerstrom	gate non-trigger current	$t_{vj} = t_{vj \max}, v_D = 6 \text{ V}$		I_{GD}	max.	5	mA
Nicht zündende Steuerspannung	gate non-trigger voltage	$t_{vj} = t_{vj \max}, v_D = 0,5 V_{\text{DRM}}$		V_{GD}	max.	0,2	V
Haltestrom	holding current	$t_{vj} = 25^\circ\text{C}, v_D = 6 \text{ V}, R_A = 5 \Omega$		I_H	max.	200	mA
Einraststrom	latching current	$t_{vj} = 25^\circ\text{C}, v_D = 6 \text{ V}, R_{\text{GK}} > 10 \Omega$		I_L	max.	620	mA
Vorwärts- und Rückwärts-Sperrstrom	forward off-state and reverse currents	$i_{\text{GM}} = 0,6 \text{ A}, di_{\text{G}}/dt = 0,6 \text{ A}/\mu\text{s}, t_g = 20 \mu\text{s}$ $t_{vj} = t_{vj \max}, v_D = V_{\text{DRM}}, v_R = V_{\text{RRM}}$		i_D, i_R	max.	25	mA
Zündverzug	gate controlled delay time	$t_{vj} = 25^\circ\text{C}, i_{\text{GM}} = 0,6 \text{ A}, di_{\text{G}}/dt = 0,6 \text{ A}/\mu\text{s}$		t_{gd}	max.	3	μ s
Freiwerdezeit	circuit commutated turn-off time	siehe Techn.Er./see Techn.Inf.		t_q	typ.	150	μ s
Isolations-Prüfspannung	insulation test voltage	RMS, f = 50 Hz, t = 1 min		V_{ISOL}		2,5	kV
<i>Thermische Eigenschaften</i>		<i>Thermal properties</i>					
Innerer Wärmewiderstand	thermal resistance, junction to case	$\Theta = 180^\circ\text{el,sinus: pro Modul/per module}$ DC: pro Modul/per module		R_{thJC}	max.	0,185	°C/W
		pro Zweig/per arm			max.	0,370	°C/W
		pro Zweig/per arm			max.	0,175	°C/W
		pro Modul/per module			max.	0,350	°C/W
		pro Zweig/per arm			max.	0,05	°C/W
Übergangs-Wärmewiderstand	heatsink			R_{thCK}		0,10	°C/W
Höchstzul.Sperrschiichttemperatur	max. junction temperature					140	°C
Betriebstemperatur	operating temperature					-40...+140	°C
Lagertemperatur	storage temperature					-40...+140	°C
<i>Mechanische Eigenschaften</i>		<i>Mechanical properties</i>					
Gehäuse, siehe Seite	case, see page						
Si-Elemente mit Druckkontakt	Si-pellet with pressure contact						
Innere Isolation	internal insulation						
Anzugsdrehmoment für mechanische Befestigung	mounting torque	Toleranz/tolerance +/- 15%		M1		4	Nm
Anzugsdrehmoment für elektrische Anschlüsse	terminal connection torque	Toleranz/tolerance +5%/-10%		M2		4	Nm
Gewicht	weight			G	typ.	160	g
Kriechstrecke	creepage distance					12,5	mm
Schwingfestigkeit	vibration resistance	$f = 50 \text{ Hz}$				5 . 9,81	m/s ²
Maßbild	outline						

Diese Module können auch mit gemeinsamer Anode oder gemeinsamer Kathode geliefert werden.

These modules can also be supplied with common anode or common cathode.

Recognized by UNDERWRITERS LABORATORIES INC.

TT 104 N

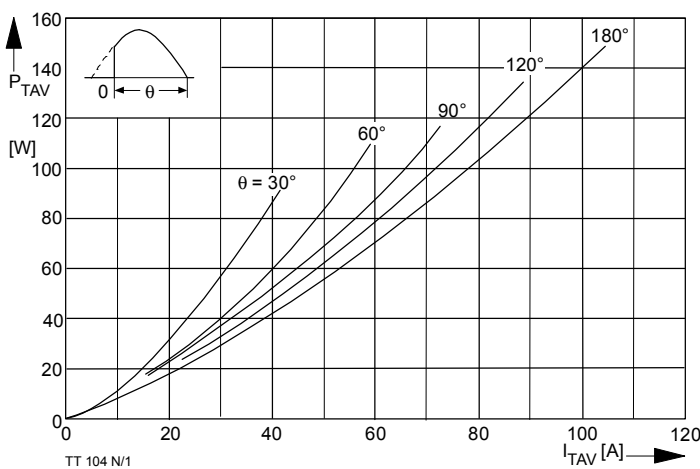


Bild / Fig. 1

Durchlaßverlustleistung je Zweig / On-state power loss per arm
 $P_{TAV} = f(I_{TAV})$
 Parameter: Stromflußwinkel / current conduction angle θ

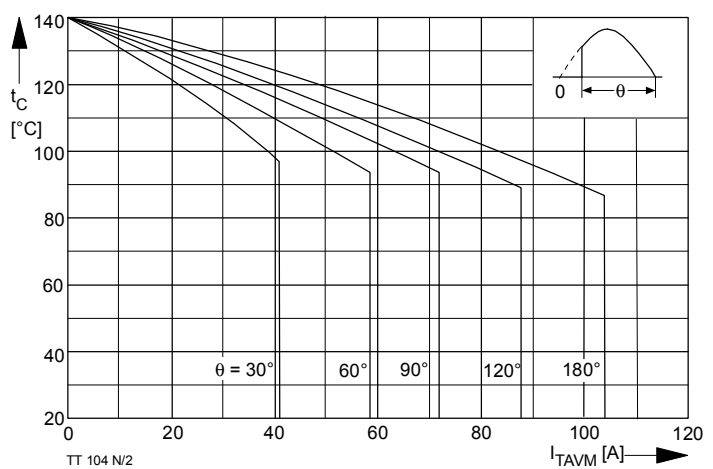


Bild / Fig. 2

Höchstzulässige Gehäusetemperatur / Maximum allowable case temperature
 $t_C = f(I_{TAVM})$
 Strombelastung je Zweig / current load per arm
 Parameter: Stromflußwinkel / current conduction angle θ

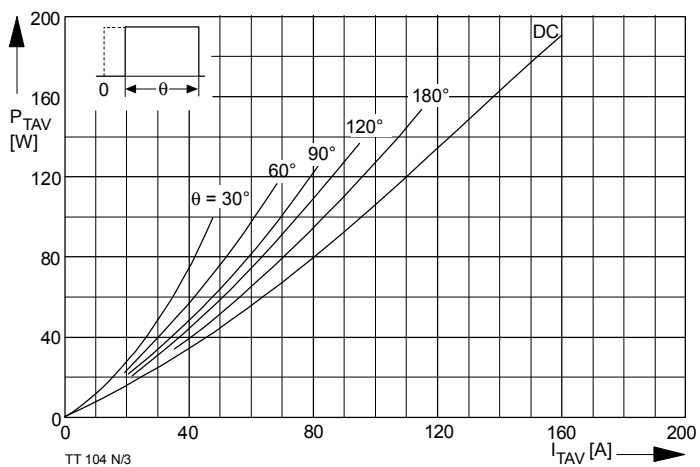


Bild / Fig. 3

Durchlaßverlustleistung je Zweig / On-state power loss per arm
 $P_{TAV} = f(I_{TAV})$
 Parameter: Stromflußwinkel / current conduction angle θ

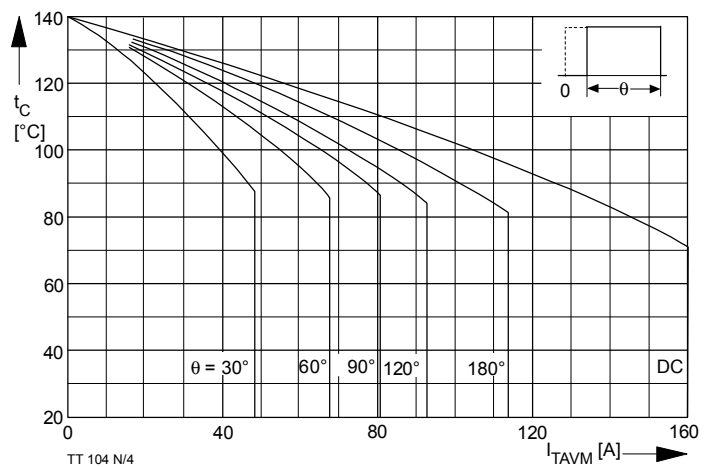


Bild / Fig. 4

Höchstzulässige Gehäusetemperatur / Maximum allowable case temperature
 $t_C = f(I_{TAVM})$
 Strombelastung je Zweig / current load per arm
 Parameter: Stromflußwinkel / current conduction angle θ

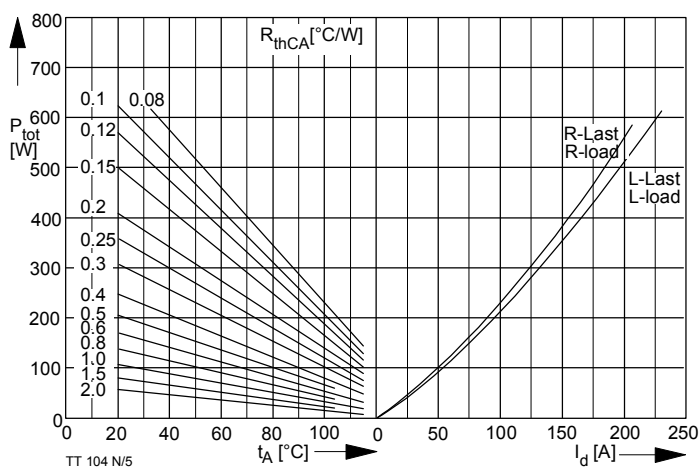


Bild / Fig. 5

B2 - Zweipuls-Brückenschaltung / Two-pulse bridge circuit
 Höchstzulässiger Ausgangsstrom / Maximum rated output current I_d
 Gesamtverlustleist. der Schaltung / total power dissip. of the circuit P_{tot}
 Parameter: Wärmewiderstand zwischen Gehäuse und Umgebung / thermal resistance case to ambient R_{thCA}

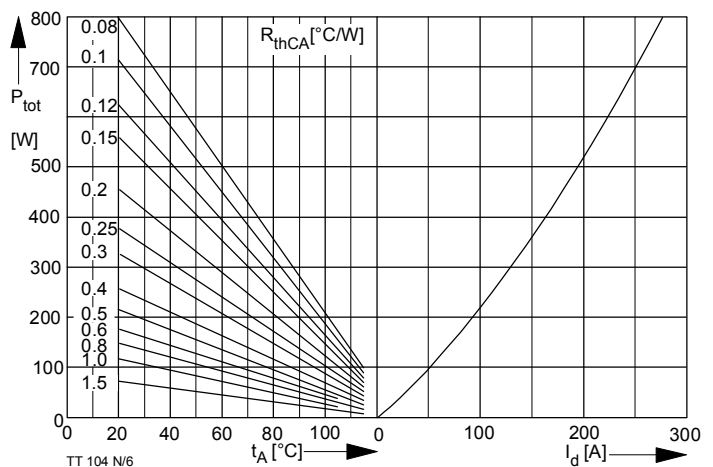


Bild / Fig. 6

B6 - Sechspuls-Brückenschaltung / Six-pulse bridge circuit
 Höchstzulässiger Ausgangsstrom / Maximum rated output current I_d
 Gesamtverlustleist. der Schaltung / Total power dissip. of the circuit P_{tot}
 Parameter: Wärmewiderstand zwischen Gehäuse und Umgebung / thermal resistance case to ambient R_{thCA}

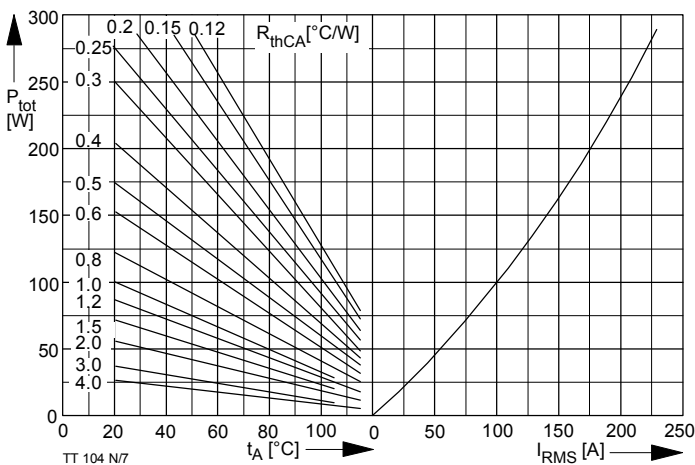


Bild / Fig. 7

W1C - Einphasen-Wechselwegschaltung / Single-phase inverse parallel circuit
Höchstzulässiger Effektivstrom / Maximum rated RMS current I_{RMS}
Gesamtverlustleist. der Schaltung / Total power dissip. of the circuit P_{tot}
Parameter: Wärmewiderstand zwischen Gehäuse und Umgebung/
thermal resistance case to ambient R_{thCA}

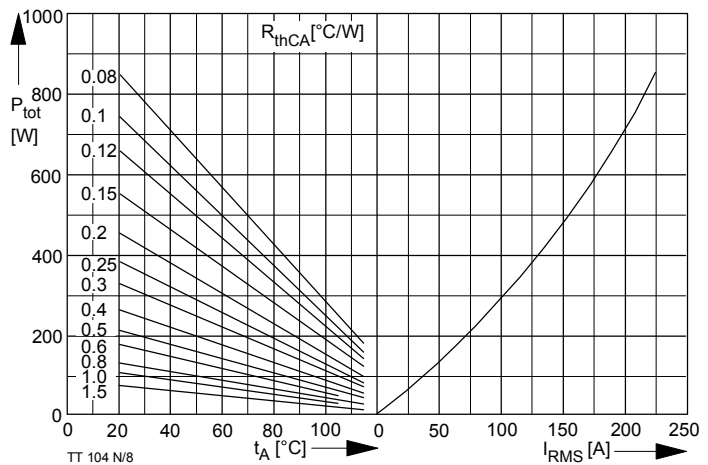


Bild / Fig. 8

W3C - Dreiphasen-Wechselwegschaltung / Three-phase inverse parallel circuit
Höchstzulässiger Effektivstrom je Phase / Maximum rated RMS current per phase I_{RMS}
Gesamtverlustleist. der Schaltung / Total power dissip. of the circuit P_{tot}
Parameter: Wärmewiderstand zwischen Gehäuse und Umgebung/
thermal resistance case to ambient R_{thCA}

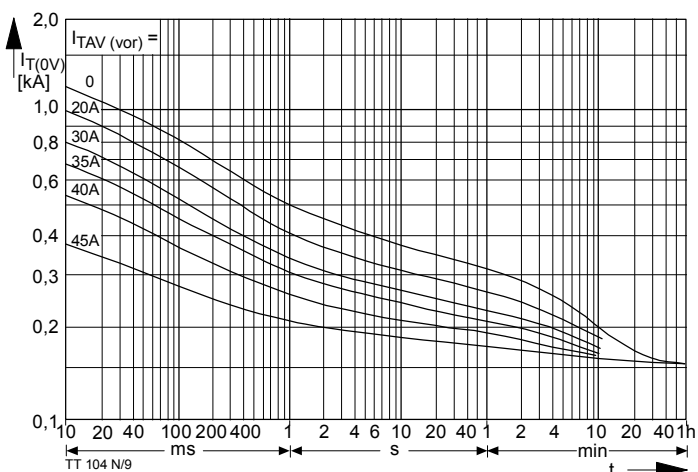


Bild / Fig. 9

B2 - Zweipuls - Brückenschaltung / Two - pulse bridge circuit
Überstrom je Zweig $I_{\text{T(OV)}}$ bei Luftselbstkühlung, $t_A=45^\circ\text{C}$,
Kühlkörper KP0,33S /
Overload on-state current per arm $I_{\text{T(OV)}}$ at natural cooling, $t_A=45^\circ\text{C}$,
heatsink type KP 0,33S
Parameter: Vorlaststrom je Zweig / pre-load current per arm $I_{\text{TAV(vor)}}$

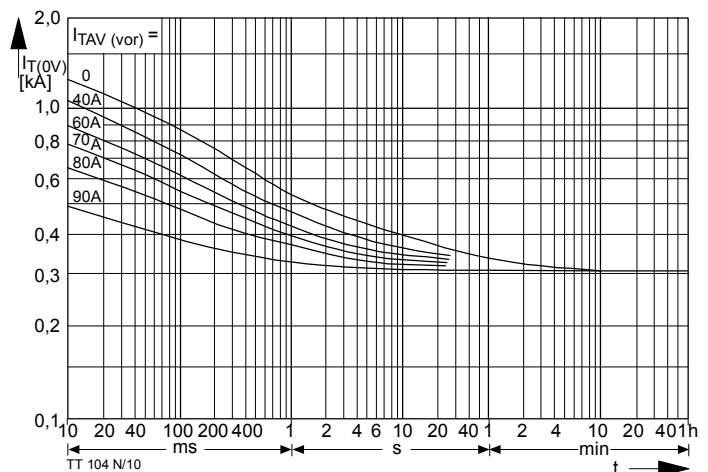


Bild / Fig. 10

B2 - Zweipuls - Brückenschaltung / Two - pulse bridge circuit
Überstrom je Zweig $I_{\text{T(OV)}}$ bei verstärkter Luftkühlung, $t_A=35^\circ\text{C}$, $V_L=90\text{V}/\text{s}$,
Kühlkörper KP0,33S /
Overload on-state current per arm $I_{\text{T(OV)}}$ at forced cooling, $t_A=35^\circ\text{C}$, $V_L=90\text{V}/\text{s}$,
heatsink type KP 0,33S.
Parameter: Vorlaststrom je Zweig / pre-load current per arm $I_{\text{TAV(vor)}}$

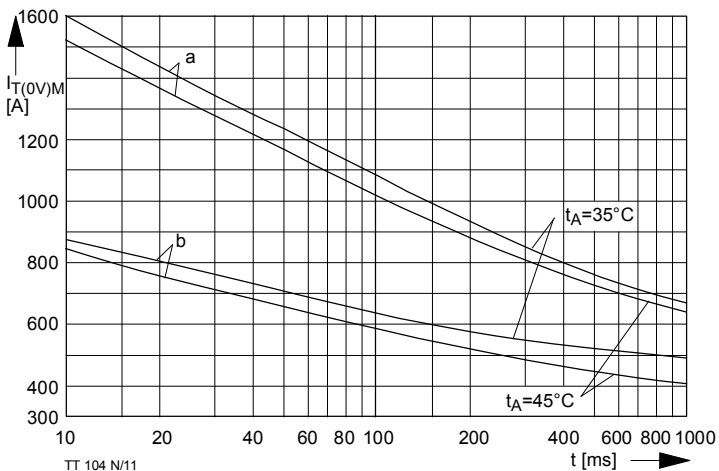


Bild / Fig. 11

Grenzstrom je Zweig $I_{\text{T(OV)M}}$ bei Luftselbstkühlung, $t_A=45^\circ\text{C}$ und verstärkter Luftkühlung, $t_A=35^\circ\text{C}$, Kühlkörper KP 0,33S, $V_{\text{RM}} = 0,8 V_{\text{RRM}}$.
Limiting overload on state current per arm $I_{\text{T(OV)M}}$ at natural ($t_A=45^\circ\text{C}$) and forced ($t_A=35^\circ\text{C}$) cooling, heatsink type KP 0,33S, $V_{\text{RM}}=0,8 V_{\text{RRM}}$.
a - Belastung nach Leerlauf / current surge under no-load conditions
b - Belastung nach Betrieb mit Dauergrenzstrom I_{TAVM} /
Current surge occurs during operation at limiting mean on- state current rating I_{TAVM}

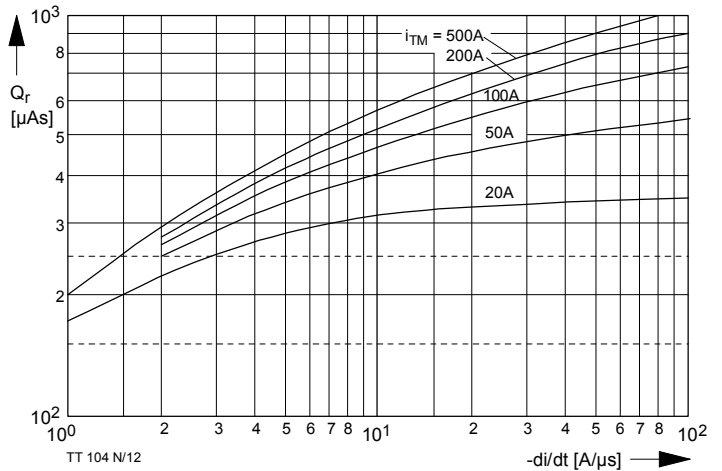


Bild / Fig. 12

Sperrverzögerungsladung / Recovery charge $Q_r = f(-di/dt)$
 $t_{\text{vj}} = t_{\text{vmax}}$, $V_R \leq 0,5 V_{\text{RRM}}$, $V_{\text{RM}} = 0,8 V_{\text{RRM}}$
Parameter: Durchlaßstrom / On-state current i_{TM}

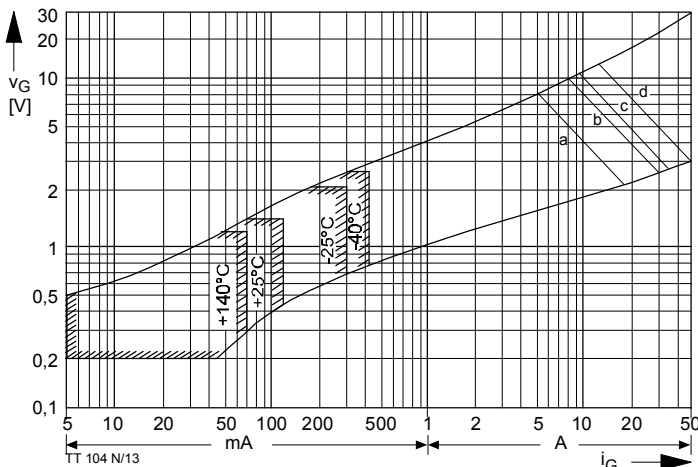


Bild / Fig. 13

Steuercharakteristik mit Zündbereichen / Gate characteristic with triggering areas, $v_G = f(i_G)$, $v_D = 6 \text{ V}$

Parameter: a b c d

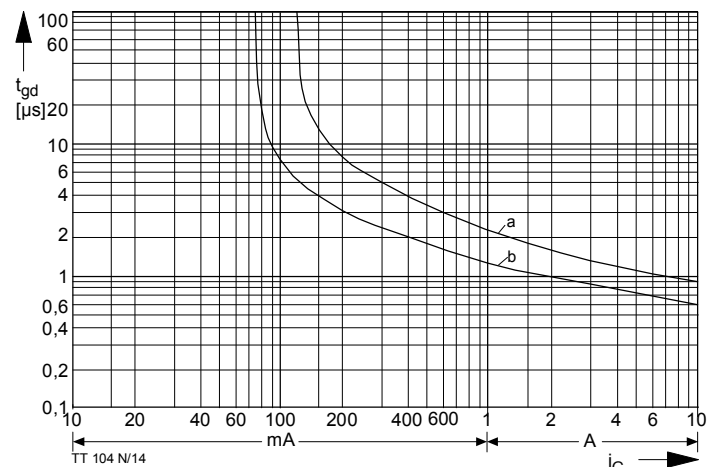
Steuerimpulsdauer / Pulse duration t_q [ms] 10 1 0,5 0,1Höchstzulässige Spitzensteuerleistung/
Maximum allowable peak gate power [W] 40 80 100 150

Bild / Fig. 14

Zündverzug / Gate controlled delay time $t_{gd} = f(i_G)$ $t_{vj} = 25^\circ\text{C}$, $d i_G/dt = i_{GM}/1\mu\text{s}$

a - äußerster Verlauf / limiting characteristic

b - typischer Verlauf / typical characteristic

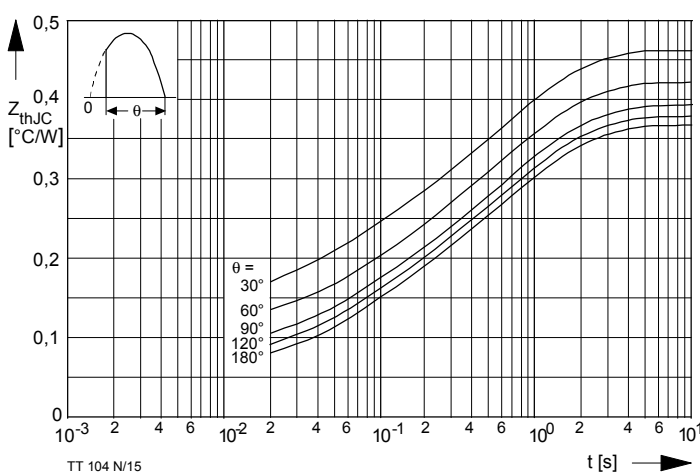


Bild / Fig. 15

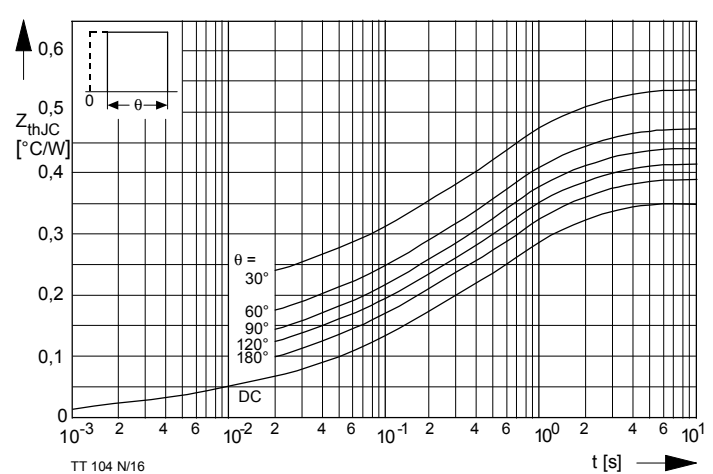
Transienter innerer Wärmewiderstand je Zweig / Transient thermal impedance per arm $Z_{(th)JC} = f(t)$ Parameter: Stromflußwinkel / current conduction angle θ 

Bild / Fig. 16

Transienter innerer Wärmewiderstand je Zweig / Transient thermal impedance per arm $Z_{(th)JC} = f(t)$ Parameter: Stromflußwinkel / current conduction angle θ Analytische Elemente des transienten Wärmewiderstandes Z_{thJC} pro Zweig für DC
Analytical elements of transient thermal impedance Z_{thJC} per arm for DC

Pos. n	1	2	3	4	5	6	7
$R_{thn} [\text{°C/W}]$	0,005	0,0195	0,0518	0,128	0,146		
$\tau_n [\text{s}]$	0,00004	0,00223	0,022	0,235	1,24		

Analytische Funktion / Analytical function:

$$Z_{thJC} = \sum_{n=1}^{n_{max}} R_{thn} \left(1 - e^{-\frac{t}{\tau_n}}\right)$$